

КИЇВСЬКИЙ ПОЛІТЕХНІЧНИЙ ІНСТИТУТ

На правах рукопису

РОГАЧОВ ВАЛЕРІЙ АНДРІЙОВИЧ

УДК 536.242:532.542

ТЕПЛОСБІМІН НА ВХІДНІЙ ДІЛЯНЦІ ТРУБИ ПРИ ТЕЧІЇ З ВІДРИВОМ

Спеціальність 05.14.05 – Теоретичні основи теплотехніки

А в т о р е ф е р а т
дисертації на здобуття наукового ступеня
кандидата технічних наук

Київ – 1993

№ 27/46

Робота виконана на кафедрі атомних електростанцій та інженерної теплофізики Київського політехнічного інституту

Науковий керівник:

кандидат технічних наук,
доцент Легкий В.М.

Науковий опоненти:

доктор технічних наук,
професор Дикий М.О.

кандидат технічних наук,
ст.наук.співроб.Макаров А.С.

Матеріальна установка:

Інститут технічної теплофізики
АН України

ЛННБ України ім.В.Стефаніка



00814329 (R)

Захист відбудеться "28" червня 1993 р. о 10 годині
на засіданні спеціалізованої вченої ради К 068.14.07 у Київському
політехнічному інституті за адресою:
252056, м.Київ-56, пр-т Перемоги,37, КПІ-ІІЗ.

Автореферат розісланий "20" травня 1993 р.

Вчений секретар спеціалізованої
Ради

В.П.Рожалін

ЛННБ ім. В. Стефаніка
АН України

АНОТАЦІЯ

У дисертаційній роботі проведено експериментальні дослідження теплообміну і течії в умовах відриву потоку повітря на початковій ділянці труби з гострим входним краєм ($R/d=0$) та краєм, профільованим відносним радіусом кола $R/d=0,4$, в межах чисел Рейнольдса $Re_d=(10-110) \cdot 10^3$ і приведених довжин $x/d=0,1-13$.

Метод роботи є створення фізично обґрунтованих моделей відривних течій на початкових ділянках гладких труб з гострим і профільованим входними краями, розкриття специфічної для внутрішньої задачі закономірності переходу від ламінарної до турбулентної течії в суміжному шарі при відривних і передвідривних режимах теплообміну, розробка на основі експериментальних даних розрахункових залежностей для визначення інтенсивності локальної тепловіддачі в умовах відривної течії.

Для досягнення поставленої мети:

- спроектовані і створені входні ділянки для дослідження течії та локального теплообміну в області відриву;
- досліджений механізм відривної течії на початковій ділянці круглої труби;
- розроблені фізичні моделі відривних течій;
- досліджені закономірності теплообміну у відривній області і встановлений їх зв'язок з моделями течії;
- розроблена інженерна методика розрахунку локального теплообміну на початковій ділянці в умовах відривної течії.

Автор захищає такі основні положення: фізичні моделі відривних течій на входних ділянках труб з гострим краєм $R/d=0$ та краєм, профільованим радіусом кола $R/d=0,4$; результати досліджень просторових полів статичного тиску на входних ділянках труб в умовах відриву потоку; результати дослідження локального теплообміну на початкових ділянках труб при відривній течії та одержаних на його основі узагальнюючих співвідношень для розрахунку локальних коефіцієнтів тепловіддачі у межах $Re_d=(10-110) \cdot 10^3$ і $x/d=0,1-13$.

ЗАГАЛЬНА ХАРАКТЕРИСТИКА РОБОТИ

Актуальність теми. Відрив потоку від поверхні, яка омивається рідиною або газом, широко розповсюджене, хоча і

недостатньо вивчене явище в технічних пристроях. До них належать гідравлічні та турбомашини, транспортні трубопроводи, апарати авіаційної та ракетної техніки, промислові та енергетичні теплообмінники. Вивчення відривних явищ через їх різноманітність і складність в основному йде шляхом експериментальних дослідів і в цілому знаходиться у стадії інтенсивного накопичення первинної інформації про природу та закономірності відриву у різних його проявах. Практично усі автори, надрукованих в останні роки з цієї проблеми робіт, відзначають необхідність суттєвого розширення досліджень теплообмінних процесів при відривній течії. Відрив приводить до інтенсифікації теплообміну потоку з поверхнею, що омивається і ця обставина може бути корисною, зокрема, у високоєфективних теплообмінних апаратах. В умовах внутрішньої задачі такі дослідження особливо актуальні, але їм і сьогодні ще не приділяється достатньої уваги. Доповільність вивчення процесів теплообміну при відривних режимах течії для внутрішньої задачі підтверджується результатами ряду робіт, виконаних в 1970 року на кафедрі атомних електростанцій та інженерної теплофізики Київського політехнічного інституту і присвячених аналізу процесів течії, локального теплообміну у трубах і каналах малої приведеної довжини, які мають різні конфігурації вхідних країв.

Методи досліджень. Вивчення течії в області відриву проводилось методом поверхневої візуалізації. В ролі візуалізуючої сполуки використовувалась суміш сажі з гасом. Структура просторового поля статичних тисків досліджена за допомогою дренажування поверхні вхідної ділянки отворами і зондом тиску. Для вимірювання інтенсивності локального теплообміну в межах $x/d = 0,4-1,3$ використовувався калориметр з вбудованими датчиками Герашенка 0.0. Для вхідної ділянки з краєм $R/d = 0$ в інтервалі приведених довжин $x/d = 0,1-0,9$ інтенсивність локального теплообміну визначалась методом товстої стінки. Розв'язання зворотної задачі теплопровідності здійснювалось методом проб.

Наукова новизна. Розроблені фізичні моделі відривних течій і обґрунтовані причини інтенсифікації теплообміну в області відриву. Одержані нові дані про розподіл інтенсивності тепловіддачі на вхідній ділянці труби з краєм $R/d = 0$ при $x/d = 0,1-1,3$. На ділянці з вхідним краєм $R/d = 0,4$ встановлено, що трансформування режиму течії із безвідривної у відривну настає

при числі $Re_d \approx 43 \cdot 10^3$. Відмічена нестійкість перехідного процесу для $Re_d \approx 49 \cdot 10^3$, яка впливає на характер розподілу коефіцієнтів теплообміну після ламінарної області та розміщення критичних координат. Одержані залежності для розрахунку локальної інтенсивності тепловіддачі на початкових ділянках в областях з ламінарним та турбулентним пограничним шаром, у тому числі і в перерізах, де вона набуває екстремальних значень.

Практична цінність результатів роботи. Одержані залежності для розрахунку локального теплообміну на початковій ділянці труби при відривній течії знайдуть застосування у проектуванні і створенні високоефективних компактних теплообмінників. Експериментальні дані по теплообміну і течії є також основою для розрахунку інших теплообмінних пристроїв, в яких мають місце відривні явища.

Реалізація роботи. Результати дослідів використані у звіті по НДР "Розробка, дослідження та впровадження експериментальних матеріалів з конвективного теплообміну і аеродинамічного опору у поперечно-реберних поверхнях нагрівання котлів-утилізаторів ПГУ", що виконаний на основі договору з НВО по дослідженню і проектуванню енергетичного устаткування ім.І.І.Подунова (ЦКТИ, м.Ленінград).

Апробація роботи. Головні подожження і результати дисертаційної роботи доповідались: на наукових семінарах кафедри атомних електростанцій та інженерної теплофізики КПП; наукових конференціях професорсько-викладацького складу Київського політехнічного інституту (1988, 1990рр.); Всесоюзній конференції молодих дослідників у інституті технічної теплофізики АНУ (м.Київ, 1982р.); Всесоюзному семінарі "Відривні та струмові течії" (м.Новосибірськ, 1988р.); 8-й Всесоюзній конференції "Двухфазний потік в енергетичних машинах та апаратах" (м.Ленінград, 1990р.).

Публікації. За матеріалами дисертації опубліковано три друковані праці.

Структура і об'єм роботи. Дисертація складається з вступу, чотирьох розділів, висновків, списку використаної літератури із 78 назв і додатків. Робота викладена на

162 сторінках машинописного тексту і має 6 таблиць, 63 малюнка та 20 фотографій.

У вступі обґрунтована актуальність теми дисертації, сформульована мета дослідження, приведена стисла анотація результатів роботи.

У першому розділі виконаний огляд літературних даних по результатам дослідження течії і теплообміну в зоні відриву на вхідних ділянках каналів та труб з докладним аналізом окремих робіт і методів досліджень.

У другому розділі міститься опис експериментального стенду і конструкції робочих ділянок. Розглядаються методи досліджень течії і локального теплообміну. Зроблена оцінка похибок вимірювань.

У третьому розділі подано результати експериментальних досліджень течії на вхідних ділянках з краями $R/d = 0$ та $R/d = 0,4$. Наведені дані про просторові поля статичного тиску. На базі аналізу і узагальнення дослідних даних розроблені фізичні моделі відривної течії. Запропоновані емпіричні залежності для розрахунку основних геометричних параметрів відривної області.

У четвертому розділі містяться результати експериментальних досліджень по локальному теплообміну вхідних ділянок. Одержані співвідношення для розрахунку локальних коефіцієнтів теплообміну у зонах з ламінарним і турбулентним пограничним шаром. Наведені аналітичні і графічні залежності для визначення координат екстремумів тепловіддачі.

У додатках показані таблиці експериментальних і розрахункових даних, а також листинги програми для визначення інтенсивності тепловіддачі методом товстої стінки, таблиці значень похибок вимірювань, фотографії, які одержані за результатами досліджень методом поверхневої візуалізації.

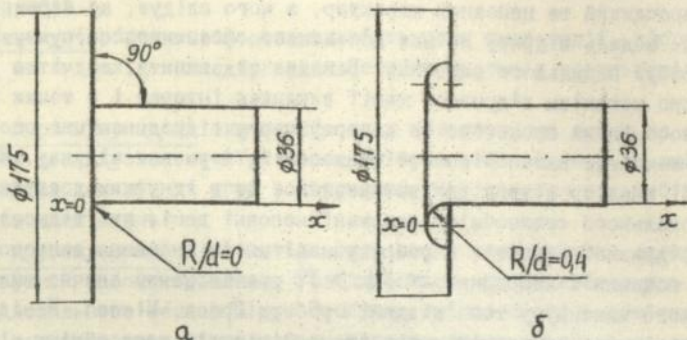
ОСНОВНИЙ ЗМІСТ РОБОТИ

Аналіз літературних джерел показав, що на цей час загальноприйнята модель відриву, що відбувається на вхідній ділянці труби, яка має гострий передній край, передбачає приєднання пограничного шару і наявність замкнутої циркуляційної області або "мертвої" зони, яка відокремлюється від основного потоку пограничним шаром, що відірвався. До небагаточисельних досліджень, які підтверджують деякі структурні елементи зазначеної моделі, можна віднести роботи Ідельчика І.Є., де наведені профілі тиску та швидкості, і робо-

ти Спероу, де вдалося одержати візуалізаційні картини течії у від-
ривній області. Одначе, існуючий експериментальний матеріал носить
суперечливий та неповний характер, з чого слідує, що загальнопри-
нята модель відриву не має достатнього фізичного обґрунтування і
потребує подальшого вивчення. Важливо відзначити, що чітке увяле-
ння про механізм відривної течії викликає інтерес і з точки зору
теплообмінних процесів, бо в першу чергу гідродинамічні особливо-
сті визначають закономірності теплообміну в умовах відриву. На під-
ставі аналізу літератури встановлено, що в існуючих дослідженнях
з локального теплообміну одержані неповні дані, які відносяться
до відривної області, а розрахункові співвідношення запропоновані
для подовжніх координат $x/d > 1$, розташованих значно нижче від-
ривного максимуму тепловіддачі (роботи Граса, Мілза). Невідома ін-
формація про подовжній розподіл коефіцієнтів теплообміну від мак-
симуму до гострого краю. Відсутня необхідна кореляція теплообмін-
них даних з існуючою моделлю течії, не розкритий механізм проце-
су теплообміну при відриві. Слід відмітити, що розглянуте відрив-
не явище можна віднести не тільки до випадку, коли вхідний край
початкової ділянки має гострий профіль, а може існувати і при де-
формації форми краю у бік плавних обрисів. Це підтверджується
ранніми роботами кафедри атомних електростанцій та інженерної
теплофізики Київського політехнічного інституту, в яких досліджу-
вався локальний теплообмін на початкових ділянках каналів, труб
з вхідними краями, профільованих радіусом кола у межах $R/d =$
 $0,1 - 1,5$ (дослідження Макарова А.С., Бурляя В.Д.). У зазначеному
ряді вхідних конфігурацій вхід з краєм $R/d = 0,4$ займає особли-
ве місце, оскільки тут в залежності від чисел Re_d спостерігають-
ся ознаки режимів теплообміну, що характерні як для відривної, так
і безвідривної течії.

Таким чином, огляд літератури дозволив встановити відсут-
ність фізично обґрунтованих моделей течії та розрахункових спів-
відношень для визначення локальної інтенсивності тепловіддачі в
області відриву на вхідних ділянках з краями $R/d = 0$ і $R/d =$
 $= 0,4$.

Основні геометричні розміри досліджених вхідних конфігура-
цій приведені на мал.І. У процесі експериментів вхідні ділянки
приєднувалися до проточної частини стенду, який являє собою дозу-
вову аеродинамічну трубу, що працює по відкритій схемі. У ролі
робочого середовища використовувалось повітря, яке надходило з ла-
бораторного приміщення, при цьому початкова ступінь турбулентно-



Мал.І. Схеми досліджених ділянок: а - вхід з гострим краєм та кутом 90° ; б - вхід з краєм, профільованим радіусом кола $R/d=0,4$

сті складала не вище 0,3%. Труба з внутрішнім діаметром 36мм і довжиною 2000мм компонувалась з лінійних ділянок, що незалежно обігрівались киплячою водою. Це забезпечувало постійну температуру стінки. Труба через витратомірний блок за допомогою м'якого переходника приєднувалась до вентилятора.

Для визначення локальних коефіцієнтів теплообміну на початкових ділянках з вхідними краями $R/d=0$ та $R/d=0,4$ у межах $x/d=0,4$ -1,3 використовувався калориметр з вбудованими на його внутрішній поверхні сьомома датчиками теплового потоку. Їх осьові координати вартувались за рахунок обігрівальних вставок або лінійних ділянок, що розміщувались між вхідним пристроєм та калориметром. Через оболонку калориметра і кільцеву камеру вхідного пристрою мікронасосом перекачується вода, що кипить в порожнині кожуха лінійної ділянки.

Інтенсивність тепловіддачі на вхідній ділянці з краєм $R/d=0$ в інтервалі приведених довжин $x/d=0,1-0,9$ вимірювалась за допомогою калориметра, де використовувався метод товстої стінки. Він був виконаний з електротехнічного компаунду УП-592-ІІ, його внутрішній та зовнішній діаметри відповідно дорівнювали 36мм і 50 мм. Температури на поверхнях калориметру у продольному та радіальному напрямках вимірювались двадцятьма шістьома мідь-константановими термопарами з проводами $\varnothing 0,1$ мм. Теплопідвід забезпечувався за

рахунок ніхромового електронагрівача, який був намотаний на зовнішню поверхню калориметра і складався з трьох автономних секцій, що живились від джерел постійного струму.

Побудована за підсумками в'язулізації модель відривної течії на початковій ділянці труби з гострим входним краєм та кутом 90° подана на мал.2 /1,2/.

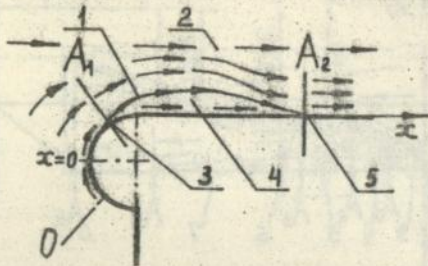


Мал.2. Модель в'дривної течії на початковій ділянці труби за гострим входним краєм з кутом 90° : 1 - зрушений шар, 2 - ядро потоку, 3 - застійна зона, 4 - вихор-вовчок, 5 - пристінний шар зворотної течії, 6 - область з хаотичним рухом, 7 - вторинна течія.

Первинний пограничний шар формується на поверхні торцевої стінки, починаючи з точки 0. Огинаючи гострий край він відривається і з підвищеною, відносно ядра потоку 2, швидкістю переміщується по траєкторії, яка поступово відхиляється до осі труби. За рахунок в'язкісної взаємодії з вільним зрушеним шаром I біля гострої кромки виникає обертовий вихор-вовчок.4. Його край лежить у перерізі A_2 . Вовчок грає роль підбну насосу, для якого викликає на відрітку між перерізами A_1 і A_4 переміщення маси тонкої поверхневої плівки Б у бік вовчка. Далі скидання цієї маси відбувається у зрушений шар та область з неупорядкованим хаотичним рухом 6. Вторинна течія 7, яка спонукається зрушеним шаром, що відірвався, починається в перерізі A_3 . В перерізі A_5 зрушений шар розмивається і відбувається злиття вторинної течії з ядром потоку. Із запропонованої моделі випливає, що профіль швидкості з перегином у межах початкової ділянки існують біля стінки на відрітку між перерізами A_3 і A_4 , а максимуми швидкостей розташовані уздовж траєкторії зрушеного шару. За геометричними та режимними ознаками модель мал.2 повинна бути віднесена до випадку, коли входний край початкової ділянки гладкого каналу має гострий профіль або надто мале закруглення, а числа Рейнольдса наближаються до 10^5 . Отже, відривні те-

чіт з приєднанням можливі тільки при деформації форми краю у бік достатньо плавних обрисів або при суттєво менших значеннях числа Рейнольдса.

Фізична модель відривної течії на вхідній ділянці в краєвім $R/d = 0,4$ подана на мал.3.



Мал.3. Модель відривної течії на початковій ділянці труби з вхідним краєм $R/d = 0,4$: 1 - зрушений шар, 2 - ядро потоку, 3 - переріз від'єднання, 4 - відривна бульбашка, 5 - переріз приєднання.

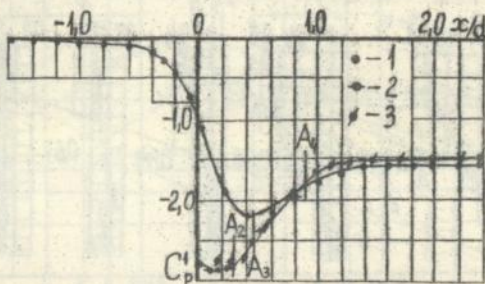
Координата початку розвитку пограничного шару розташована у точці 0, яка в залежності від числа Рейнольдса може знаходитись вище або нижче по течії від точки $x = 0$. При $Re_d > 43 \cdot 10^3$ виникає від'єднання зрушеного шару I в перерізі A_1 , який має координату $x/d = 0,56$ і розташований перед перерізом спряжіння закругленої та прямолинійної частини вхідної ділянки. Зрушений шар огинає відривну бульбашку 4 і приєднується в перерізі A_2 . Всередині бульбашки відбувається уповільнення швидкості течії, яка співпадає з напрямом основного потоку 2. Навколо відривної бульбашки має місце значне викривлення лінії току, викликане наявністю поперечних градієнтів тиску. Розглянутий випадок відриву характеризується приєднанням потоку до стінки без виникнення зворотної течії.

Обстеження поля статичних тисків здійснено в ізотермічних умовах трьома серіями експериментів для кожної вхідної ділянки. У першій серії проведено вимірювання зондом уздовж центральної осі початкової ділянки, при цьому досліджена і область, яка знаходилась попереду вхідного перерізу. В другій - знайдено розподіли статичних тисків на зовнішніх границях поля через дренажні отвори та зондом, вісь якого розташована на відстані 0,5 мм від стінки. У третій - досліджено зондом радіальні розподіли тисків у десяти дискретних поперечних перерізах початкової ділянки аж до $x/d = -2,5$. У кожному з цих перерізів осі бокових отворів зонду суміща-

лись з подовжньою координатою якого-небудь із дренажних отворів на стінці. Безрозмірні коефіцієнти тисків обчислювались у першій і другій серіях дослідів за різницями між локальними на стінці або осі та барометричними тисками, а у третій серії - за різницями тисків у потоці та на стінці:

$$C_p^1 = \frac{2(P_w - P)}{\rho \cdot u_{cp}^2} ; C_p^2 = \frac{2(P_w - P_w)}{\rho \cdot u_{cp}^2} \quad (I)$$

У ролі типового прикладу на мал.4 нанесені криві $C_p^1 = f(x/d; Re_d)$ осьових і настінних вимірювань при $Re_d = 108 \cdot 10^3$ для входу з краєм $R/d = 0$.

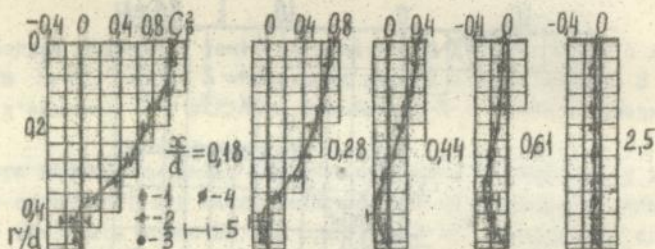


Мал.4. Результати вимірювань поля статичних тисків у відривній області входної ділянки з краєм $R/d = 0$ при $Re_d = 108 \cdot 10^3$: 1 - осьові вимірювання, 2 - вимірювання зондом біля стінки, 3 - вимірювання через дренажні отвори.

Осьові розподіли I при $x/d > 0$ мають достатньо гострий мінімум у зоні $x/d = 0,4-0,42$, викликаний стисненням потоку. Відновлення тиску по осі відбувається аж до $x/d = 1,8-2,0$. У лівій частині малюнка показані дослідні дані для області $x/d < 0$, які дозволяють оцінити координату початку течії уздовж осі труби, якщо її зв'язувати умовою $C_p^1 = 0$. При числах Рейнольдса порядку 10^5 координата точки початку течії складає біля трьох калібрів труби і в досліджених межах підпорядковується залежності $(x/d)_0 = 0,045 Re_d^{0,55} / 3$. Подовжені вимірювання, виконані дренажами 2 та зондом 3 у пристінній області, задовільно узгоджується, але суттєво відрізняються

ся від осевих розподілів. Вказані криві мають досить велику зону з мінімальним рівнем статичного тиску, яка розміщується у межах $x/d = 0,1-0,35$, при цьому абсолютні значення коефіцієнтів тиску у зоні мінімуму на 25-30% нижче, ніж на осі. За матеріалами візуалізаційних експериментів і відповідно з моделлю мал.2 на графіках позначено розташування характерних перерізів, які зв'язані з розвитком відривної течії за гострою кромкою: A_2 -правий край вівчка, A_3 -початок вторинної течії, A_4 -переріз з нульовою швидкістю на стінці.

Результати вимірювання статичних тисків в радіальному напрямку для п'яти поперечних перерізів початкової ділянки приведені на мал.5.



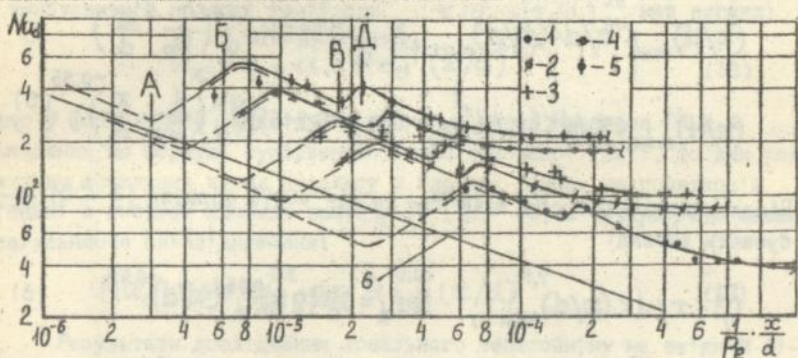
Мал.5. Результати вимірювань радіальних розподілів статичних тисків на входній ділянці з краєм $R/d = 0$: 1 - $Re_d = 13 \cdot 10^3$, 2 - $28 \cdot 10^3$, 3 - $43 \cdot 10^3$, 4 - $108 \cdot 10^3$, 5 - координати зрушеного шару, які знайдені за результатами візуалізації.

У дослідженому інтервалі чисел Рейнольдса графіки $C_p^2 = f(r/d; x/d; Re_d)$ для різних Re_d співпадають. На відрітку $x/d < 0,85$ радіальні розподіли біля стінки мають мінімум, який поступово з ростом x/d переміщується у бік ядра потоку. Ознаки існування мінімуму тиску зникають, коли приведена довжина досягає $x/d = 2,5$. Мітки на графіках відображають траєкторію руху пограничного шару, що відірвався за гострою кромкою. Добра їх кореляція з координатами мінімуму тиску дозволяє вважати останній природним наслідком місцевого і різкого підвищення швидкості, що призводить до формування на початковій ділянці M-образних профілів швидкості.

На відміну від результатів гідрравлічних вимірювань на вході з краєм $R/d = 0$, осеві розподіли тисків на вході з краєм

$R/d = 0,4$ характеризуються монотонним їх зниженням, що вказує на поступове зростання швидкості у ядрі потоку. Абсолютні значення коефіцієнтів C_p приблизно у два рази нижчі, ніж на гострому вході, а відновлення тиску на стінці та його вирівнювання в радіальному напрямку настає неподалік перерізу $x/d \approx 1,0$.

Дослідження осьових розподілів локальних коефіцієнтів теплообміну у круглій трубці з гострим переднім краєм проводились по черзі кожним з двох калориметрів. Безрозмірна обробка експериментального матеріалу здійснена у системі параметрів подібності (Nu_d ; $\frac{1}{Pe} \cdot \frac{x}{d}$) на мал.6.



Мал.6. Безрозмірна обробка експериментальних даних $Nu_d = f\left(\left(\frac{1}{Pe} \cdot \frac{x}{d}\right), Re_d\right)$ для входу з краєм $R/d = 0,1$: 1 - $Re_d = 13 \cdot 10^3$, 2 - $28 \cdot 10^3$, 3 - $42 \cdot 10^3$, 4 - $77 \cdot 10^3$, 5 - $110 \cdot 10^3$, 6 - по формулі (2).

На малюнку штрихом індексована область, де коефіцієнти теплообміну визначались методом товстої стінки. На верхньому графіку відмічено: мінімум інтенсивності теплообміну А, глобальний максимум Б, кінці перехідної зони В та Д. Крива 6 відповідає формулі (2) для випадку безвідривної ламінарної течії у пограничному шарі початкової ділянки і $Re_d > 10^4$ (формула В.М.Легкого):

$$Nu_d = 0,381 \left(\frac{1}{Pe} \cdot \frac{x}{d} \right)^{0,5} + 2,3 \quad (2)$$

Приведені графіки задовільно лінеаризуються усередніті складаючих їх фрагментів аж до перерізу В. Попереду мінімуму А і на відрітку ВВ ухил осереднюючих діній складає - 0,55, що корелюється із значеннями, які властиві закономірностям теплообміну у ламінарних течіях. Глобальний максимум В відповідає початку вторинної течії (переріз А₂, мал.2). Зниження коефіцієнтів тепловіддачі на відрітку АВ викликане підвищенням товщини шару зворотної течії.

Аналіз теплообмінних даних привів до таких залежностей:

$$0,1 < x/d < (x/d)_{\min}, Nu_d = 0,06 Re_d^{0,44} \left(\frac{1}{Pe} \cdot \frac{x}{d} \right)^{-0,55} \quad (3)$$

$$(x/d)_{\min} < x/d < (x/d)_{\max}, Nu_d = 0,355 Re_d^{1,66} \left(\frac{1}{Pe} \cdot \frac{x}{d} \right) \quad (4)$$

$$(x/d)_{\max} < x/d < (x/d)_{\text{кр}}^I, Nu_d = 0,215 Re_d^{0,44} \left(\frac{1}{Pe} \cdot \frac{x}{d} \right)^{-0,55} \quad (5)$$

Після підстановки $Pe = Re \cdot Pr$ та $Pr = 0,71$ формули (3 - 5) набувають вигляду:

$$0,1 < x/d < (x/d)_{\min}, Nu_d = 0,049 Re_d^{0,66} (x/d)^{-0,55} \quad (6)$$

$$(x/d)_{\min} < x/d < (x/d)_{\max}, Nu_d = 0,5 Re_d^{0,66} (x/d) \quad (7)$$

$$(x/d)_{\max} < x/d < (x/d)_{\text{кр}}^I, Nu_d = 0,178 Re_d^{0,66} (x/d)^{-0,55} \quad (8)$$

Формули (3 - 8) узгоджуються з експериментальними даними з похибкою $\pm 10\%$.

Координати глобальних максимумів тепловіддачі, які взяті за мал.6 та даними робіт Спероу, А.С.Макарова при дослідженні відриву на вході у канал в інтервалі $Re_{d_2} = (3-110) \cdot 10^3$, запропоновано визначати за формулою:

$$(x/d)_{\max} = 0,46 + 10^3 / Re_{d_2} \quad (9)$$

Координати мінімумів не залежать від числа Re_d і дорівнюють приблизно $0,22d$. Дані локального теплообміну в перерізах мінімуму та глобального максимуму узагальнені співвідношеннями:

$$Nu_d^{\min} = 0,108 Re_d^{0,66} \quad (I0)$$

$$Nu_d^{\max} = 0,252 Re_d^{0,66} \quad (II)$$

У розглянутому діапазоні чисел Re_d критичні координати переходу в константи і складають $(x/d)_{кр}^I = 1,33$ та $(x/d)_{кр}^{II} = 1,62$.

Формула для визначення поправочного коефіцієнту $\epsilon_x = Nu_d / Nu_{d,\infty}$ у турбулентній області течії при $x/d > (x/d)_{кр}^{II}$ має вигляд:

$$\epsilon_x = 1 + 11,3 Re_d^{-0,44} (x/d)^{-1,7} \quad (I2)$$

Якщо у формулу I2 підставити значення чисел Нусельта $Nu_{d,\infty}$ знайдених по формулі турбулентної стабілізованої течії, то для розрахунку локальних чисел Нусельта у гладких трубах на початковій ділянці з гострою кромкою при $Re_d > 10^4$, $Pr = 0,71$ та $x/d > 1,6$ маємо узагальнююче співвідношення:

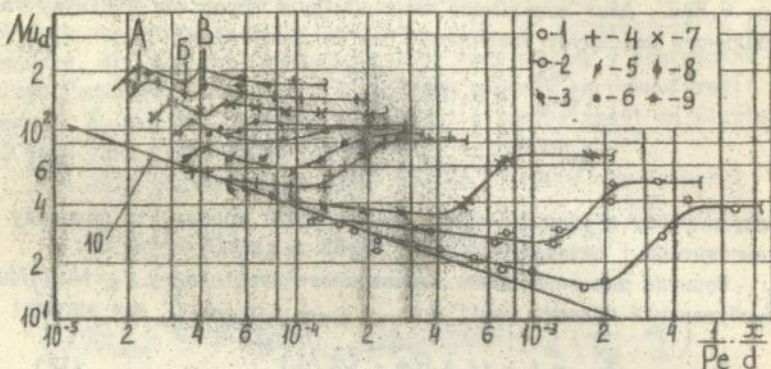
$$Nu_d = 0,019 Re_d^{0,8} + 0,21 Re_d^{0,66} (x/d)^{-1,7} \quad (I3)$$

Результати дослідження локального теплообміну на вхідній ділянці з краєм $R/d = 0,4$ у вигляді безрозмірних графіків $Nu_d = f\left[\left(\frac{x}{d}\right); Re_d\right]$ подані на мал.7.

При $Re_d > 43 \cdot 10^3$ графіки мають вигляд типовий для відривної течії. На них просліджується два максимуми А та В. Перший зв'язаний з приєднанням зрушеного шару і збігається з перерізом A_2 (мал.3), а другий - викликаний завершенням перехідного процесу. У області $Re_d < 43 \cdot 10^3$ спостерігається безвідривний режим течії, де локальні числа Нусельта монотонно знижуються уздовж осі абсцис і об'єднуються для різних Re_d кривою IO.

При $Re_d < 30 \cdot 10^3$ у залежностях критичних координат $(x/d)_{кр}^{I,II}$ від чисел Re_d зберігаються закономірності $Re_{x_{кр}}^{I,II} = const$, типові для режиму теплообміну зі змішаною течією. При $Re_d > 30 \cdot 10^3$ вони порушуються, з ростом Re_d критичні координати різко зменшуються і прямують до постійних значень. Зрештою виконується умова

$(x/d)_{кр}^{I,II} = const$, яка характерна для відривного входу з краєм $R/d = 0$. Критичні координати для входу з краєм $R/d = 0,4$ при $Re_d > 60 \cdot 10^3$ складають $(x/d)_{кр}^I = 1,8$ та $(x/d)_{кр}^{II} = 2,0$.



Мал. 7. Безрозмірна обробка даних теплообміну для входу з краєм $R/d = 0,4$: 1- $Re_d = 13 \cdot 10^3$, 2- $18 \cdot 10^3$, 3 - $29 \cdot 10^3$, 4 - $40 \cdot 10^3$, 5 - $43 \cdot 10^3$, 6 - $49 \cdot 10^3$, 7 - $58 \cdot 10^3$, 8 - $69 \cdot 10^3$, 9- $77 \cdot 10^3$, 10 - по формулі (2).

Залежність координати глобального максимуму локального теплообміну від числа Re_d з похибкою $\pm 5\%$ описується формулою:

$$(x/d)_{\max} = 1,08 + 10^4 / Re_d \quad (14)$$

Дані по інтенсивності теплообміну у глобальному максимумі в залежності від числа Re_d апроксимовані співвідношенням:

$$Nu_d^{\max} = 10^{-5} Re_d^{1,5} \quad (15)$$

Для визначення поправки на початковій ділянці при турбулентній течії і $Re_d \geq 49 \cdot 10^3$ запропоновано формулу:

$$\epsilon_x = 1 + 1,66 (x/d)^{-2,8} \quad (16)$$

УМОВНІ ПОЗНАЧЕННЯ

d - внутрішній діаметр вхідної ділянки, м; R - радіус закруглення вхідного краю, м; x - подовжня координата, м; r - радіальна координата, м; U_{cp} - середньовитратна швидкість, м/с; α - конвективний коефіцієнт тепловіддачі, Вт/м²К; Re_d - число Рейнольдса; Nu_d - локальне число Нусельта; Pe - число Пекле; ϵ_x - поправка на початкову ділянку при турбулентній течії.

ЗАГАЛЬНІ ВИСНОВКИ

1. Розроблені на основі візуалізаційних досліджень фізичні моделі відривних течій на вхідних ділянках труб з гострим переднім краєм ($R/d = 0$) і краєм, профільованим радіусом кола $R/d = 0,4$, свідчать про те, що при $R/d = 0$ не відбувається приєднання зрушеного пограничного шару, а на стіні розвивається вторинний пограничний шар, у межах якого на поверхні початкової ділянки лежить переріз з нульовою швидкістю, при $R/d = 0,4$ та $Re_d \geq 43 \cdot 10^3$ має місце відрив пограничного шару з наступним його приєднанням, при цьому у відривній області на поверхні не виникає зворотної течії.

2. Просторові поля статичних тисків на початкових ділянках труб у межах $Re_d = (13-115) \cdot 10^3$ відзначаються суттєвою нерівномірністю, як у подовжному, так і в радіальному напрямках. Ця нерівномірність стає незначною лише при $x/d \geq 2,5$ у трубі з гострим переднім краєм і відповідно при $x/d \geq 1,0$ у трубі з переднім краєм, профільованим радіусом кола $R/d = 0,4$. Конфігурації радіальних розподілів статичних тисків свідчать про існування на початкових ділянках труб у зовнішній частині пограничного шару, так званих, М-образних профілів швидкості.

3. В умовах відриву потоку на початкових ділянках труб з гострим переднім краєм $R/d = 0$ та краєм, профільованим радіусом кола $R/d = 0,4$, спостерігається звичайна для змішаних безвідривних течій послідовність зміни режимів теплообміну, що є природним наслідком існування зон з ламінарним, перехідним і турбулентним пограничним шаром. Але на відміну від безвідривних течій, в умовах відриву критичні координати перехідної зони стають константами, тобто $(x/d)_{кр}^I = const$ і $(x/d)_{кр}^{II} = const$, в той час, як для безвідривних течій виконуються закономірності $Re_{x_{кр}}^I = const$ і $Re_{x_{кр}}^{II} = const$.

4. Подовжит розподіли локальної інтенсивності тепловіддачі $\alpha = f(x/d ; Re_d)$ на початкових ділянках в умовах відриву мають глибокий мінімум поблизу вхідного краю і два максимуми. У трубі з гострим переднім краєм ($R/d = 0$) координата мінімуму практично не залежить від числа Рейнольдса і складає $x/d \approx 0,22$, що відповідає перетву дальнього краю вихора-вовчка, де шар зворотної течії досягає найбільшої товщини. Перший глобальний максимум у цьому випадку відповідає початку вторинної ламінарної течії, а другий - зв'язаний з перетвом, де завершується процес переходу у пограничному шарі. На початковій ділянці з профільованим вхідним краєм $R/d = 0,4$ перший глобальний максимум локальної інтенсивності тепловіддачі співпадає з перетвом приднання, а другий, як і раніше, відповідає перетву завершення переходу.

5. На основі аналізу експериментальних розподілів локальної інтенсивності теплообітну на початкових ділянках труб з гострим $R/d = 0$ та профільованим радіусом кола $R/d = 0,4$ передніми краями у межах $Re_d = (10-110) \cdot 10^3$ запропоновані:

- розрахункові методики, які дозволяють в умовах відривної течії визначити координати екстремумів тепловіддачі, координати зон переходу, локальні числа Нусельта у перетвах екстремумів;

- система узагальнюючих співвідношень $Nu_d = f(x/d ; Re_d)$ на відрітках з ламінарним та турбулентним пограничним шаром в умовах відриву при $0,1 \leq x/d \leq 13$;

- розрахункові залежності для поправок на початкову ділянку при $x/d > (x/d)_{кр}^{II}$ до формули, що використовується в області розвиненої турбулентної течії. Як свідчать експерименти, ці поправки суттєво залежать від конфігурації переднього краю труби.

ПУБЛІКАЦІЇ НА ТЕМУ ДИСЕРТАЦІЇ

1. Легкий В.М., Рогачов В.А. Течія на початковій ділянці труби з гострим вхідним краєм. 1. Фізична модель течії //Інж.фіз.журн.- 1989. - Т.56, №2. - С.216-220.
2. Легкий В.М., Рогачов В.А. Течія на початковій ділянці труби з гострим вхідним краєм. 2.Порівняльний аналіз//Інж.фіз.журн.- 1989. -Т.56, №4.-С.547-550.
3. Легкий В.М., Рогачов В.А. Структура поля статичних тисків на початковій ділянці труби з гострим вхідним краєм //Інж.фіз. журн. - 1991. - Т.61, №5. - С.709-713.

Післ. до друку 12.05.93 . Формат 60×84¹/₁₆.
Папір друк. № 2 . Спосіб друку офсетний. Умовн. друк. арк. 0,98 .
Умовн. фарбо-відб. 1,04 . Обл.-вид. арк. 4,0 .
Тираж 100 . Зам. № 4-81 . Безплатно.

Фірма «ВІПОЛ»
252151, Київ, вул. Волинська, 60.

AB 27.469

AB 27.469